

# 多摩ニュータウン流出試験地における 流出モデルのパラメーターと都市化による相違

Changes of Parameters of Runoff Model Caused by Urbanization  
in Tama Experimental Basin

住宅・都市整備公団	正員	友納 寛幸
東京大学生産技術研究所	正員	虫明 功臣
住宅・都市整備公団	正員	○柳 原 和憲
建設技術研究所	正員	阿部 令一

## 1はじめに

多摩川右支川大栗川・乞田川流域にその殆どの区域が含まれる多摩ニュータウンでは、昭和44年の大規模宅地造成事業着手と同時に、都市化による流出（特に洪水流出）特性の変化の水文学的意味を明らかにする目的で、建設省土木研究所、同京浜工事事務所、東京都土木技術研究所、東京大学生産技術研究所虫明研究室及び住都公団南多摩開発局の5機関によって流出試験地が設けられ、昭和59年まで水文観測がなされてきた。このうち、住都公団が中心となって観測してきた4試験地（別所、長池、永山、車橋）の①流出率、②洪水到達時間、③流出係数についての検討成果を、第29回水理講演会において報告した（\*1）。本報では、現在実用に供されている洪水流出モデルについて、これら試験地におけるパラメーターと都市化によるその相異（変化）について、宅地開発において講じられる雨水流出に係わる防災対策を念頭において研究した成果とこれを他の試験地における既往成果と比較した結果を報告する。

## 2 流出試験地の概要

流出試験地は多摩丘陵に位置し、三浦層群に属する平山砂層、連光寺互層及び稻城砂層と、これを不整合におおう御殿崎礫層、オシ沼砂礫層、下末吉層、多摩ローム層、武藏野ローム層などの洪積統で構成されている。

火山灰質粘土層と連光寺泥層が難透水層をなし、その上部の武藏野ローム層、御殿崎礫層及び稻城砂層が帶水層となっている。急峻な地形のため武藏野ローム層の保存はよくない。

本報では、前報で対象とした4試験地のうち、洪水時の流量データに難のある長池を除く3試験地を対象とした。

表1 対象試験地の特徴・諸元

要素 試験地	流域の性格		流域面積 (km <sup>2</sup> )	流路長 (km)	流路勾配	斜面勾配	切・盛土面積率 (%)		市街化率 (%)		不浸透域面積率 (%)		
	規模	市街化度					切土	盛土	S45	S58	S45	S58	
	永山	ミクロ	市街地	0.028	0.6	1/47	1/47	60	40	100	100	42	54
別所	メソ	自然		0.925	2.08	1/2.8	1/2.8	—	—	7.2	44.0	18	37
車橋	マクロ	開発途上		13.47	6.85	1/31	1/31	34.3	65.7	9.8	73.5	19	37

（注）切土には盛土以外の土地を含む。

## 3 解析対象出水

解析対象出水としては各試験地とともに、①出水の規模、②出水の継続時間、③流出波形のピークの数から

みて、色々なタイプの出水が含まれるよう、永山試験地はS46年～S58年の11出水、別所試験地は観測精度に難のあるS53年以降を除くS46年～S52年の9出水、車橋流域はS47年～S54年の7出水を選定した。別所試験地については当該期間において造成工事は殆ど着手されていない。

#### 4 有効降雨モデル

前報では、ひとあめ雨量 ( $\Sigma r$ ) と直接流出高 ( $\Sigma q_d$ ) との関係が基本流出率 ( $f_0$ ) と一次付加流出率 ( $f_1$ ) 及び一次遷移雨量 ( $R_c$ ) によって表わせることを示し、 $f_0$ は流域の直接流出域面積率（別所、長池試験地では河道沿いの沖積地や沼沢地の面積率に等しく、車橋、永山試験地では不浸透域面積率 ( $I_{imp}$ ) に等しい）に等しいことを示した。

さらに、虫明、岡、小池が示すように永山試験地と別所試験地における浸透域不飽和帶水分増加量 ( $\Delta M$ ) がひとあめ雨量 ( $R$ ) が  $R_c$  よりやや小さい 60 mm 程度まではほぼ  $R$  に等しい (\*2) ことから、 $f_1$  が浸透域における表面流出発生のみによる寄与と考えることができる。

そこで、ここでは前報で示した浸透域飽和流出率 ( $f_s$ ) を用い、安藤、虫明、高橋が長池試験地と永山試験地について日単位と時間単位の水収支から、浸透域からの流出を不飽和帶と地下水帯の2つのタンクとして表現した (\*3) と同様のモデルを援用して、有効降雨モデルを図2に示すタンクモデルとして表わした。即ち、降雨の増大に応じて浸透域において、

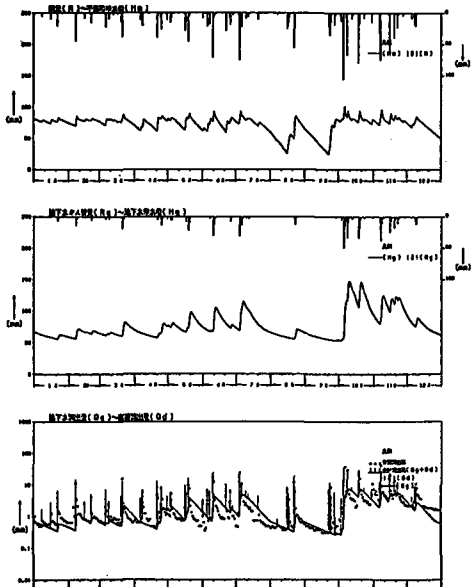
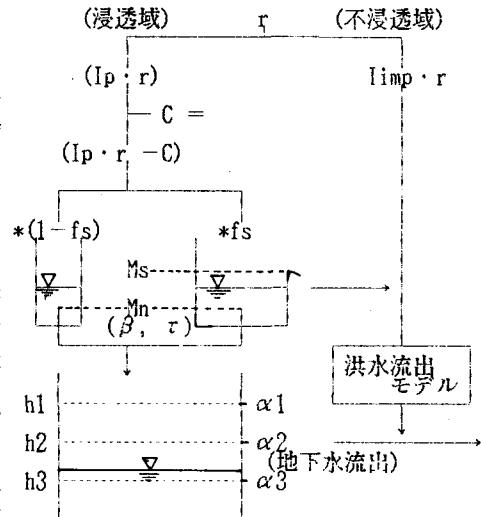


図4 タンクモデルによる流況の再現（車橋試験地）



r; 降雨量,  $I_p$ ; 浸透域面積率,  $I_{imp}$ ; 不浸透域面積率, C; 樹冠遮断量 ( $C=0.2 \cdot r$ ),  $f_s$ ; 浸透域飽和流出率,  $M_s$ ; 飽和容水量,  $M_n$ ; 最小容水量, \*; 乗することを示す

図2 タンクモデルを用いた有効降雨モデル

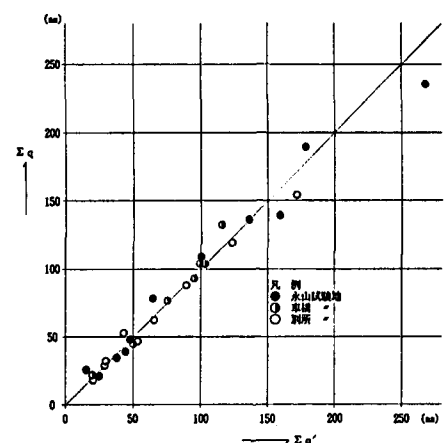


図3 タンクモデル型有効降雨モデルによる総流出高の実測値 ( $\Sigma q'$ ) と計算値 ( $\Sigma q̂'$ ) の比較

$f_s$  に対応する面積から飽和容水量 ( $M_s$ ) を超過した水分量に相当する表面流出が発生するものとした。

このモデルを用いて日単位で年間の流況を再現した結果から、解析対象出水初期の浸透域不飽和帶の水分量を与えて、同じモデルを用いて10分単位（別所、車橋試験地）もしくは2.5分単位（永山試験地）の計算によって得られた総流出高を実測値と比較したところ、図3に示すように両者はほぼ等しいことが示された。

流域の定数 ( $M_s, M_n, \beta, \tau, h_1, h_2, h_3, \alpha_1, \alpha_2, \alpha_3$ ) の値は、永山試験地については安藤らの成果(\*3)を用い、別所試験地については同じく安藤らの長池試験地における成果(\*3)を援用した。但し、 $M_n$ と $M_s$ の値を各々 150mm, 180mm とした。車橋試験地については虫明らが提案している不飽和帯の土壤の水分保持特性から $M_n$ と $M_s$ の値を設定し、地下水帶タンクの定数は流出高の低減部を片対数紙にプロットして得られる勾配から $\alpha_1 \sim \alpha_3$  を設定し、試算により $h_1 \sim h_3$  の値を設定した。

実用的な見地からはこのようなタンクモデルを用いずに洪水初期の不飽和帯水分量 ( $M_o$ ) を推定する必要がある。そこで、対象出水の ( $M_s - M_o$ ) と降雨開始迄の 2 週間について N 日 間の日雨量との重相関関係をみたところ  $N=10$  を境に、 $N > 11$  となると急に相関度が高くなることがわかった。参考までに 14 日間の日雨量  $R_1 \sim R_{14}$  との重相関関係式は下式のようになつた。

$$M_s - M_o = a_0 + a_1 \cdot R_1 + a_2 \cdot R_2 + \dots + a_{14} \cdot R_{14} \quad (1)$$

$$a_0 = 5.1, a_1 = -1.06, a_2 = -1.10, a_3 = 5.28, a_4 = 0.639, a_5 = -0.572 \\ a_6 = 2.10, a_7 = -30.5, a_8 = 2.39, a_9 = -0.498, a_{10} = -1.78, a_{11} = 14.7 \\ a_{12} = -8.40, a_{13} = -74.3, a_{14} = 3.25$$

ここに、 $M_s$ : 鮫和容水量 (mm),  $M_o$ : 出水直前日の不飽和帯水分量 (mm),  $R_i$ : 出水  $i$  日前の日雨量 (mm/日),  $a_0 \sim a_{14}$ : 條数

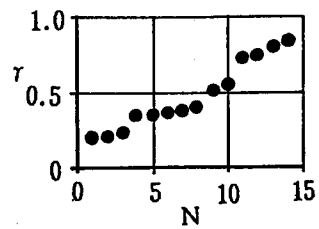


図 5 降雨開始前 N 日間の日雨量と ( $M_s - M_o$ ) との重相関係数

本検討では資料数 (27出水) が少ないとから、 $M_o$  の推定手法については今後さらに検討する必要がある。

## 5 斜面流出モデル

斜面流出モデルとして①貯留関数法、②準線形貯水池法、③等価粗度法をとりあげた。基本式は次の通り

### (1) 基本式

#### ①貯留関数法

$$S = k \cdot q^p \quad (2)$$

$$re - q = dS/dt \quad (3)$$

ここで、 $S$ : 貯留量 (mm),  $q$ : 流出高 (mm/hr),  $re$ : 流入量 (mm/hr),  $k, p$ : 定数。

#### ②準線形貯水池法

$$S = k \cdot q \quad (4)$$

$$re - q = ds/dt \quad (5)$$

$$k = tc/2 \quad (6)$$

$$tc = C \cdot A^{0.22} \cdot re^{-0.35} \quad (7)$$

ここで、 $S, k, q$  は貯留関数法に同じ。 $re$ : 有効降雨強度 (mm/hr),  $tc$ : 洪水到達時間 (hrs),  $A$ : 流域面積 (km<sup>2</sup>)。

#### ③等価粗度法

$$h = k \cdot q^p \quad (8)$$

$$\partial h / \partial t + \partial q / \partial x = re \quad (9)$$

雨水流が Manning 則に従うとする  
と、 $k = (N/I)^p$ ,  $p=0.6$   $(10)$

ここに、 $h$ : 雨水流の水深 (mm),  $q$ : 単位斜面幅当たりの流量 (m<sup>3</sup>/s)  
 $re$ : 有効降雨強度,  $k, p$ : 定数,  $N$ : 等価粗度 ( $m^{-1/3} \cdot s$ ),  $I$ : 斜面勾配

### (2) モデルの最適パラメータと流域条件

上記 3 手法について、解析対象の各出水の再現性が最も高いパラメーターを試算により検討した。さらに、流域の条件として流域面積 ( $A$ )、市街化面積率 ( $U$ ) 及び不浸透域面積率 ( $I_{imp}$ ) をとり上げ、最適定数との相関関係を検討した。再現性の評価には、相対誤差 ( $E_t$ )、ピーク誤差 ( $E_p$ )、二乗誤差 ( $E_q$ ) の 3 つを用い、ピーク流量の 20%以上の流量について誤差を最小とするパラメーターを調べた。

$$E_t = \sum |q - q'| / q, E_p = \sum |qp - qp'| / \sqrt{qp}, E_q = \sum |q - q'|^2 / \sqrt{q'}^2 \quad (11)$$

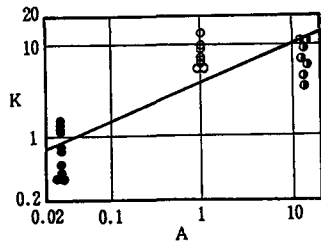
ここに、 $q$ : 計算流出高,  $q'$ : 実測流出高,  $p$  はピーク流量を示す添字。単位は mm/hr.

実績と計算によるハイドログラフを重ね合わせた結果、全般に  $E_q$  を最小にするパラメーターを用いた場合の再現度が最も高いと判断されたことから、以下は  $E_q$  を最小とするパラメーターについて述べる。

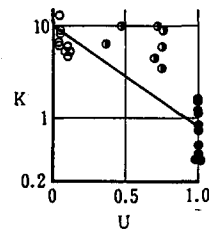
#### ① 貯留関数法

パラメーター  $k$  と  $p$  とは相互に従属する関係にあること、 $k$  と流域面積とは高い相関関係にあること、 $k$  は都市化により小さくなる傾向があることなどが指摘されている(\*4)。 $p$  の値は 0.5~0.6 の範囲で用いられることが多いことから、ここでは  $p$  を 0.6 に固定して  $k$  を中心に検討した。

$k$  の値は上記流域の 3 条件のいずれとも高い相関を示すが、特に流域面積 ( $A$ ) 並びに不浸透域面積率

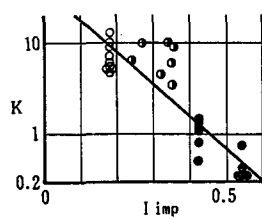


$$(1) k = 3.73 \cdot A^{0.414} \\ r = 0.847$$



$$(16) (2) k = 11.2 \cdot 10^{-1.04} \cdot U \\ r = 0.789$$

凡例  
● 永山試験地  
○ 車橋別所



$$(17) (3) k = 39.8 \cdot 10^{-3.51} \cdot Iimp \\ r = 0.882$$

(Iimp)との相関が高い。重相関関係では次のような関係が得られる。いずれも相関係数0.95程度を示している。

$$k = 0.561 \cdot A^{0.272} \cdot Iimp^{-1.51}, r = 0.953 \quad (12)$$

$$k = 19.1 \cdot A^{0.237} \cdot 10^{-2.30} \cdot Iimp, r = 0.959 \quad (13)$$

$$k = 2.24 \cdot A^{0.339} \cdot U^{-0.444}, r = 0.941 \quad (14)$$

$$k = 7.96 \cdot A^{0.292} \cdot 10^{-0.621} \cdot U, r = 0.937 \quad (15)$$

佐合らは自然流域においてkの値はAの0.4・p乗に比例することを示している(\*5)が、上記重相関関係のAの指数は0.24～0.34であり、この結果と大きく隔っていない。また、同じく $10^{-0.8 \cdot U}$ に比例することも示しているが、(14)式の指数は-0.62・Uあり、大きな隔たりはない。吉野らの示したk～A相関図及びk～U相関図(\*4)中に本検討の値をプロットすると図7,8のようになり、このことはこの図上からもうかがえる。

## ② 準線形貯水池法

準線形貯水池法は角屋らによる洪水到達時間の半経験式と実績の有効降雨強度曲線とから $t_c$ を決定し、吉野が示したk～ $t_c$ 関係から算定されるkの値を用いる方法で、定数Cについては角屋ら(\*6)建設省土木研究所(\*7)により土地利用用途毎の標準値が提案されている。

本法は通常、流域を土地利用用途別に区分し、各用途毎に特徴的なCの値を用いて算出した流出高を合成して流域の流出高とする。ここでは、前報で示した流域別のCの値（別所試験地（自然；135）、車橋試験地（開発途上）；65、永山試験地（市街地）；35）から用途毎にCの値を設定し、用途毎にCの値を与えて流出高を合成する通常の方法と、用途別面積を重みとするCの加重平均値を流域全体に適用して流出高を算出する方法とのハイドログラフを比較した。山林・畠地と市街地とがある車橋流域を対象とし、ピーク流出高が2.0を超える比較的規模の大きい出水の中から1山、2山、多山の3タイプの出水を対象としたところ流出波形は殆ど同じであった。

土地利用を洪水流出の面から評価するという本法の開発目標から、地目別にCの標準値が提案され、地目別流出計算結果を合成

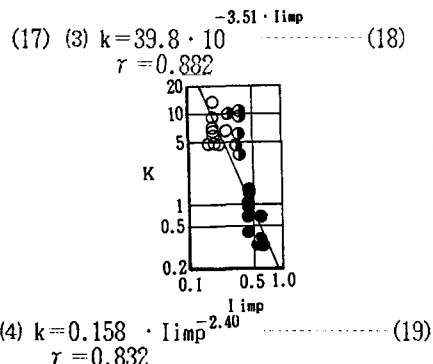


図6 貯留関数法のパラメーターkの値と流域条件との単相関関係

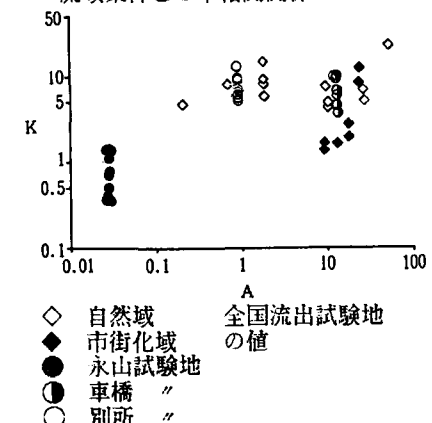


図7 kの値と流域面積との関係  
(\*4に加筆)

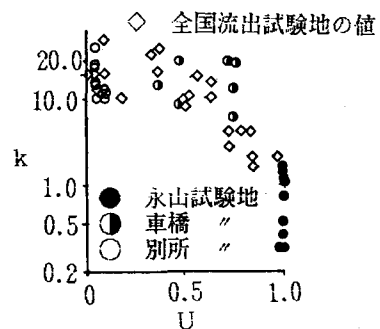


図8 kの値と市街化率との関係  
(\*4に加筆)

するという方法が採られてきたと考えられるが、洪水流出の再現性からは必ずしもこのような方法を用いる必要はないと判断される。

そこで、各出水の再現性が最も高いCの値と流域の条件との相関関係をみたところ、図9に示すように市街化率(U)とも不透水面積率(I<sub>imp</sub>)とも高い相関関係のあることがわかった。

これら4式についてみると、市街地100%（不透水面積率40~70%に相当する）の流域では、市街化率(U)を用いる場合はCの値

は130~140と評価されるのに対して、不透水面積率を用いる場合はCの値は180~40と評価される。また、山林・畠地面積が100%（市街化率0%）の流域では、市街化率(U)を用いた場合のCは720と評価され、不透水

面積率(I<sub>imp</sub>)を用いた場合、山地流域でも5~15%程度の直接流出域のあることを考慮してI<sub>imp</sub>を10%とすると、Cの値はこれまで提案されているCの標準値に比しやや大きく、吉野らが全国の流出試験地について示したCの値(\*4)に比較しても大きい。但し、市街地100%の流域についてのCの値は同様な比較から（たとえば\*9）ほぼ妥当な値と評価される。従って、両式は主として開発途上流域及び市街地について適用されるものと判断される。

表2  
地目分割モデルと流域一括モデルの計算に用いたCの値

用途	Cの値
山林	135
畠	135
市街地	35
造成地	42~50
全流域	65

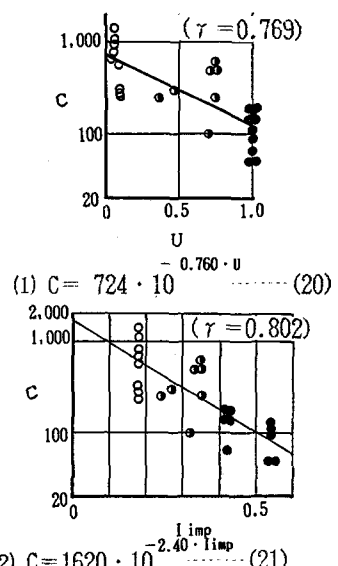


図9 Cの値と流域条件  
の式についても山林・畠地が100%の流域についてのCの値はこれまで提案されているCの標準値に比しやや大きく、吉野らが全国の流出試験地について示したCの値(\*4)に比較しても大きい。但し、市街地100%の流域についてのCの値は同様な比較から（たとえば\*9）ほぼ妥当な値と評価される。従って、両式は主として開発途上流域及び市街地について適用されるものと判断される。

### ③ 等価粗度法

等価粗度法は洪水流出現象を一様な斜面の流れとして物理的に計算する方法で、等価粗度Nは土地利用によって変化する値であり、角屋ら(\*8)や建設省土木研究所(\*7)の標準値が得られている。また、吉野らは全国流出試験地のNの推定値から市街化率(U)を用いて、NとUとの間に  $N = 1.3 \cdot 10^{-2.1 \cdot U}$  という相関関係のあることを示した(\*4)。

ここでは、NとU及び不透水面積率(I<sub>imp</sub>)との間の相関関係を検討したところ図9(1)(2)のような関係が得られた。

図9(1)中にはNとUとの相関について、吉野らが示した図に本検討で得られた値をプロットしてある。同図から、ここで得られたNの値は吉野らが示した値の範囲にあること、ここで得られた相関式も吉野らが示した相関式に近似していることがわかる。

(22), (23)式とともに、開発途上流域～市街地流域については標準とされている値とほぼ同じ値を与えるが、市街化の度合が低い流域では標準とされている値に比しやや大きな値を与える。たとえば市街化率0%の山林・畠地流域においては、(22)式ではNの値が1.9と評価され、(23)式では直接流出率を10%とするとNの値は3.0と評価される。これらの値は角屋らが示した山林地の標準値0.6~1.2、及び土研が示した山林の標準値0.7に比し著しく大きく、水田のNの標準値(N=2~3)に相当する。

従って、上述の準線形貯水池法のCの値と同様、上記(22), (23)式は開発途上～市街地に限定して適用すべきものと判断される。

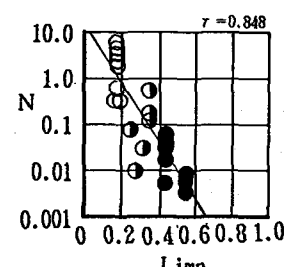
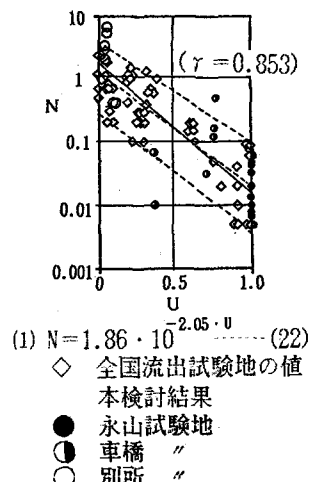


図10 Nの値と流域条件

## 6 まとめ

本検討の対象 3 試験地について得られた洪水流出の有効降雨モデル並びに斜面流出モデルのパラメーターと既往成果との比較から、次の諸点が明らかとなった。

### (1) 有効降雨モデル

虫明らが示した、浸透域のひとあめ雨量と不飽和帶水分增加量が自然流域と市街化流域とを問わず、ひとあめ雨量がある一定量に達するまではほぼ等しいことから、前報で示した一次付加流出率が浸透域からの表面流出に起因するものと推定し、タンクモデル型の有効降雨モデルを提案した。洪水流出における有効降雨は不飽和帶水分量の初期条件量( $M_0$ )に依存する。 $M_0$ は洪水発生前10日間以上の日雨量と高い相関がある。

### (2) 斜面流出モデルのパラメーター

- ① 貯留関数法のパラメーター  $k$ ,  $p$  のうち、 $p$  を 0.6 と固定した場合、 $k$  の値は流域面積 ( $A$ ) と市街化面積率 ( $U$ ) もしくは同じく  $A$  と不浸透域面積率 ( $I_{imp}$ ) を用いて式(13), (15) のように表すことができる。
- ② 準線形貯水池法を用いる場合、 $C$  の値を地目別に与えて地目別に流出計算して得られた波形を合成した波形と、地目別面積を重みとする  $C$  の加重平均値を流域全体の  $C$  の値として与えて計算した波形とは殆ど同じ。
- ③ 準線形貯水池法のパラメーター  $C$  の値は市街化面積率 ( $U$ ) 及び不浸透域面積率と相関度が高く、図 9 の (20) 及び (21) 式の関係がある。但し、標準とされている値と比較した結果、自然流域の値がやや大きく算出されるところから、両式の適用は開発途上流域から市街化流域に限定した方が良い。
- ④ 等価粗度法のパラメーター  $N$  の値は上記  $C$  の値と同様、図 10 の (22) 及び (23) の関係がある。但し、上記  $C$  の値と同様な理由で両式の適用は開発途上流域から市街化流域に限定した方が良い。

当地域の15年間に亘る水文観測は竹内俊雄先生と木下武雄先生に負うところが大きい。両先生には本報告の進行に当たって多大な御指導をいただいた。本報告が両先生をはじめとして、東京都土木技術研究所の和泉主任研究員、守田研究員の両氏と建設省土木研究所水文研究室の吉野室長、同吉谷研究員並びに建設省京浜工事事務所の方々の協力によるものであることを付記し、ここに感謝の意を表します。

## 参考文献

- 1) 志子田、友納、虫明、柳原、八尋；多摩ニュータウン流出試験地における流出特性と都市化によるその変化、第29回水理講演会論文集、1985.2
- 2) 虫明、岡、小池；降雨時の表層不飽和帶水分の自然林地と都市化域における挙動の相違、第27回水理講演会論文集、1983.2
- 3) 安藤、虫明、高橋；丘陵地の水循環機構とそれに対する都市化の影響、第25回水理講演会論文集、1981.2
- 4) 吉野、吉谷、堀内；都市流出モデルのパラメータ標準化と評価、第29回水理講演会論文集、1985.2
- 5) 佐合、利根川、吉野；実用的な流出解析の適用手法に関する研究、第27回水理講演会論文集、1983.2
- 6) 角屋、福島；中小河川の洪水到達時間、京都大学防災研究所年報19-B-2, 1976
- 7) 橋本、長谷川；土地利用を評価するモデル、土木技術資料19-5, 1977
- 8) 角屋、福島；洪水到達時間推定式について、第31回土木学会年講、1976
- 9) 佐藤、和泉；都市中小河川の流域規模と洪水到達時間、第30回水理講演会論文集、1986.2